

Соответственно переход триггера в состояние «0» определяется формулой

$$a_i^0 = a_i c_{i-1} \vee a_i a_{i-1} c_{i-2} \vee \dots \vee a_i a_{i-1} a_{i-2} \dots a_2 c_1 \vee a_i a_{i-1} a_{i-2} \dots a_2 a_1 c_0, \quad (2)$$

где  $a_i^0$  — условие перехода  $i$ -го триггера в состояние «0».

Эти формулы — общие для любого числа триггеров в группе с одновременным переносом, построенной по описываемому принципу.

Перенос из данной группы в следующую по старшинству группу определяется формулой (1), записанной для старшего триггера этой группы. Перенос осуществляется с помощью схемы «ИЛИ», построенной на переключателе тока.

В течение второго такта клапаны  $K_6—K_9$  закрыты сигналом «0» по шине «Блокировка», поэтому триггеры регистра  $B$  не меняют своего состояния до конца суммирования. Этим достигается надежность функционирования сумматора при выполнении операции переноса.

Таким образом, после двух тактов работы сумматора в триггерах регистра  $A$  образуется сумма первого и второго слагаемых. По окончании суммирования по шине «Блокировка» подается разрешающий потенциал, а через клапаны  $K_6—K_9$  триггеры регистра  $B$  устанавливаются в соответствие с состояниями триггеров регистра  $A$ . Одновременно производится сброс триггеров  $T_5, T_6$  в исходное состояние. Эти операции необходимы для подготовки сумматора к новому циклу сложения.

Общее время суммирования двух чисел  $t_{\text{сум}}$  в 8-разрядном сумматоре определяется формулой

$$t_{\text{сум}} = 2t_k + 2t_{\text{тр}} + t_{\text{с.п}},$$

где  $t_k$  — задержка распространения сигнала на клапане, работающем на открывание;  $t_{\text{тр}}$  — задержка срабатывания триггера;  $t_{\text{с.п}}$  — задержка, вносимая логической схемой переноса между группами.

Для принятой элементной базы — гибридных микросхем ДТЛ серии 217 — эти величины равны:  $t_k = 12$  нс;  $t_{\text{тр}} = 35$  нс;  $t_{\text{с.п}} = 6$  нс; отсюда  $t_{\text{сум}} = 100$  нс. Время, затрачиваемое на подготовку к новому циклу суммирования, составляет 30 нс.

Сумматор выполнен на микросхемах 2ЛБ171 и 2ЛБ172 и используется в составе быстродействующего неравномерно-следящего АЦП с тактовой частотой сложения 4 МГц.

## ЛИТЕРАТУРА

1. А. Н. Касперович, Ю. В. Шалагинов. Об одном принципе построения быстродействующей системы аналого-цифрового преобразования с адаптивной дискретизацией. — Автометрия, 1972, № 2.
2. К. В. Сафонова, В. П. Сафонов, В. М. Шляндина. Адаптивные следящие аналого-цифровые преобразователи. — Информационно-измерительная техника, вып. 5. Ученые записки. Пенза, 1971.
3. Б. М. Каган, М. М. Каневский. Цифровые вычислительные машины и системы. М., «Энергия», 1970.
4. В. П. Петров. Проектирование цифровых систем контроля и управления. М., «Машиностроение», 1967.

Поступило в редакцию 13 октября 1972 г.

УДК 621.317.795.5.085.3

В. М. ВЕДЕРНИКОВ, В. П. КИРЬЯНОВ, М. А. КОКШАРОВ  
(Новосибирск)

## ШЕСТИКАНАЛЬНЫЙ ГЕНЕРАТОР ЗАДЕРЖАННЫХ ИМПУЛЬСОВ

В экспериментальной физике широкое распространение получили многоканальные генераторы задержанных импульсов большой амплитуды. Чаще всего в таких генераторах элементом задержки служат обычные релаксационные генераторы с повышенной стабильностью времязадающих цепей. В последнее время для построения генераторов регулируемой задержки импульсов обычно используются цифровые методы [1, 2]. Такие генераторы удобны в работе, малогабаритны и обладают высокой стабильностью.

Рассматриваемый генератор использует известный метод получения регулируемой задержки с помощью высокостабильного генератора импульсов, счетчика и логических схем. Принципиальная схема генератора приведена на рис. 1. Основным времязадающим элементом генератора является мультивибратор, стабилизированный кварцем,

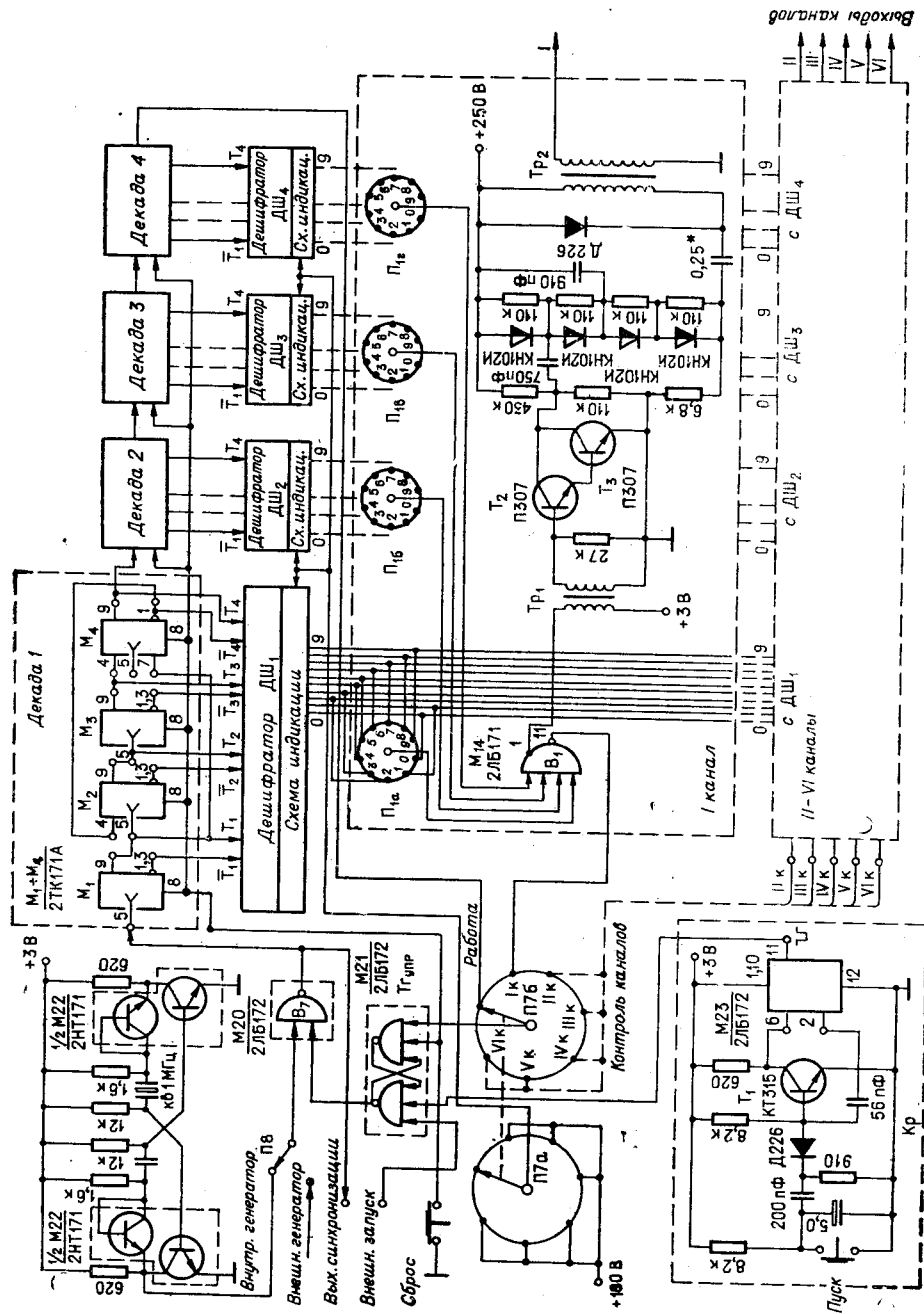


Рис. 1.

с периодом  $T=1$  мкс и скважностью 2. Счетные импульсы поступают на вход 4-декадного двоично-десятичного счетчика через вентиль  $B_7$ , управляемый триггером управления  $T_{УПР}$ ; последний включается импульсом запуска и выключается выходным импульсом счетчика. Задержка в каждом канале исчисляется от момента включения  $T_{УПР}$ . Максимальная величина задержки определяется временем переполнения счетчика и для 4-декадного счетчика при частоте повторения счетных импульсов  $f=1$  МГц составляет  $10^4$  мкс.

В генераторе предусмотрены два режима работы: автономный с запуском от кнопки «Пуск» и ждущий с запуском от внешнего генератора. Импульс запуска в автономном режиме формируется из кнопки «Пуск» с помощью кипп-реле  $K_r$ . Запускающий импульс от внешнего генератора в ждущем режиме должен удовлетворять следующим условиям: длительность импульса должна быть меньше минимальной задержки в любом канале, т. е.  $\tau < 1$  мкс; период повторения должен быть больше максимальной задержки, т. е.  $T_{зап} \geq 10^4$  мкс, амплитуда импульса +3В.

Промежуточные значения задержки в пределах от 0 до  $10^4$  мкс в каждом канале задаются с помощью индивидуальных 4-декадных переключателей; при этом коды в каждой декаде счетчика преобразуются из двоично-десятичного в десятичный с помощью обычных дешифраторов  $DШ_1$ — $DШ_2$ . Десять выходов каждого дешифратора соединены параллельно с одноименными декадными переключателями каждого канала.

На рис. 1 показана принципиальная схема одного канала. Остальные каналы полностью идентичны. Общие контакты четырех переключателей  $P_{1a}$ — $P_{1r}$  подключены к 4-входовому вентилю «И — НЕ» —  $B_1$ . На выходе схемы  $B_1$  появляется сигнал только при единственном наборе состояний триггеров, определяемом положениями переключателя  $P_1$ . Так как триггеры счетчика в каждом цикле предварительно сбрасываются в «0», то это состояние наступает только после прихода от времязадающего генератора числа импульсов

$$N = a_1 10^0 + a_2 10^1 + a_3 10^2 + a_4 10^3,$$

где  $a_1$ — $a_4$  равно 0, 1, 2, ..., 9 в зависимости от положения четырех переключателей  $P_{1a}$ — $P_{1r}$ . После прихода  $N$ -го импульса схема  $B_1$  вырабатывает импульс амплитудой +3В.

Так как период повторения тактовых импульсов равен 1 мксек, то задержка выходного импульса с вентиля  $B_1$  относительно опорного запускающего импульса

$$T_{зад} = NT_{такт}$$

определяется набором положений четырех переключателей  $P_{1a}$ — $P_{1r}$ .

Выходной импульс с вентиля  $B_1$  передается через разделительный импульсный трансформатор  $Tr_1$  на вход формирователя высоковольтных импульсов, собранного на транзисторах  $T_2$ ,  $T_3$ , четырех кремниевых неуправляемых вентилях и выходного импульсного трансформатора  $Tr_2$ . Трансформаторный выход обеспечивает низкоомный выход генератора. Длительность переднего фронта выходного импульса не превышает 100 нс.

Для удобства эксплуатации в приборе предусмотрен режим контроля задержки в каждом канале. Режим осуществляется с помощью цифрового индикаторного блока (схемы индикации) и переключателя  $P_7$ . Схема индикации нормально отключена и включается в режиме контроля переключателем  $P_{7a}$ . Выбор контролируемого канала осуществляется с помощью переключателя  $P_{7b}$ . В этом случае  $T_{УПР}$  выключается выходным импульсом одной из логических схем  $B_1$ — $B_6$  и на цифровом индикаторе высвечивается величина заданной задержки в контролируемом канале.

В генераторе предусмотрена возможность объединения его с тремя аналогичными генераторами, за счет чего число каналов может быть доведено до 24. Для этого

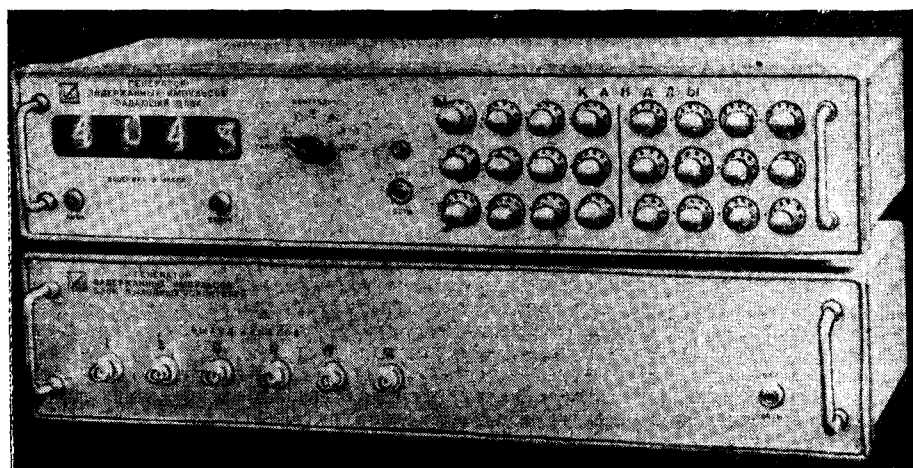


Рис. 2.

необходимо переключатели П<sub>8</sub> в трех дополнительных генераторах поставить в положение «Внешн. генератор» и завести на этот выход сигнал с выхода «Вых. синхрон.» основного генератора.

При использовании внешнего генератора в качестве времязадающего элемента величина задержки в каналах может быть существенно изменена.

Конструктивно прибор выполнен в виде двух раздельных блоков: задающего блока и блока выходных усилителей. Задающий блок выполнен практически полностью на отечественных интегральных схемах серии 217. Внешний вид прибора приведен на рис. 2

## ЛИТЕРАТУРА

1. Ю. В. Шеин, В. А. Белов. Переменная задержка повышенной точности.— ПТЭ, 1970, № 4.
2. Ю. П. Гришин, Т. Я. Новосельцева, С. В. Толоконников, Р. Л. Чирко, Ю. С. Юрченко. Цифровой генератор точной задержки.— Обмен опытом в радиопромышленности, 1970, вып. 6.

Поступило в редакцию 3 января 1972 г.

УДК 621.317.39 : 531.71

К. Ш. ЛИБЕРЗОН, Ю. В. МИТРИШКИН,  
В. Ю. НОВИКОВ, В. В. САЗОНОВ  
(Куйбышев)

## ПРЕОБРАЗОВАТЕЛИ ЛИНЕЙНЫХ ПЕРЕМЕЩЕНИЙ В ПОСТОЯННЫЙ ТОК

В известных схемах преобразователей линейных перемещений в постоянный ток, имеющих нечетную характеристику преобразования с нулем посередине и выполненных на основе дифференциальных индуктивных датчиков [1], выпрямление переменного тока, как правило, осуществляется полупроводниками диодами. В результате незэффективного выпрямления тока при малых уровнях сигнала такие схемы имеют значительную нелинейность характеристики преобразования вблизи нуля и относительно низкую чувствительность из-за наличия балластных сопротивлений.

В разработанных преобразователях для выпрямления используется фазочувствительная мостовая схема на транзисторах, работающих в ключевом режиме, что в значительной степени устраняет указанные недостатки, а также обеспечивает малую чувствительность к изменениям температуры окружающей среды и простоту согласования с низкоомной нагрузкой.

На рис. 1, а приведена принципиальная схема преобразователя. Питание катушек  $L_1$  и  $L_2$  дифференциального индуктивного датчика и переключение транзисторов  $T_1-T_4$  фазочувствительного выпрямителя производится от магнитного мультивибратора  $M$ , преобразующего постоянное стабилизированное входное напряжение  $E$  в переменное напряжение прямоугольной формы.

За счет попарно-противофазного переключения транзисторов  $T_1$ ,  $T_4$  и  $T_2$ ,  $T_3$  ток в нагрузке не меняет направления при изменении полярности питающего напряжения. Среднее значение выходного тока пропорционально перемещению якоря датчика  $l$  и напряжению питания  $E$ .

$$I_{\text{н.ср}} = k \frac{E}{R_{\text{н}}} l, \quad (1)$$

где  $k$  — коэффициент пропорциональности.

Чувствительность преобразователя определяется величиной мощности, отдаваемой им в нагрузку. Для мостовых схем с двумя изменяющимися элементами чувствительность пропорциональна квадрату числа ампер-витков в катушках датчика и зависит от условий согласования с сопротивлением нагрузки. Допустимое число ампер-витков определяется мощностью нагрева катушек и является для данного датчика величиной заданной.

Определим число витков  $w$  обмоток датчика, исходя из условия выделения максимальной мощности в нагрузке и, следовательно, получения максимальной чувствительности. Для дифференциальной схемы условием согласования датчика с нагрузкой является

$$2R_{\text{н}} = Z_{\text{в}}. \quad (2)$$